

## ВЛИЯНИЕ ПОЛЯРИЗУЕМОСТИ НА ПЕРЕНОС ВОЗБУЖДЕНИЯ В НЕУПОРЯДОЧЕННОЙ ЛИНЕЙНОЙ ЦЕПОЧКЕ

*М.В.Белоусов, Б.Е.Вольф, Е.А.Иванова*

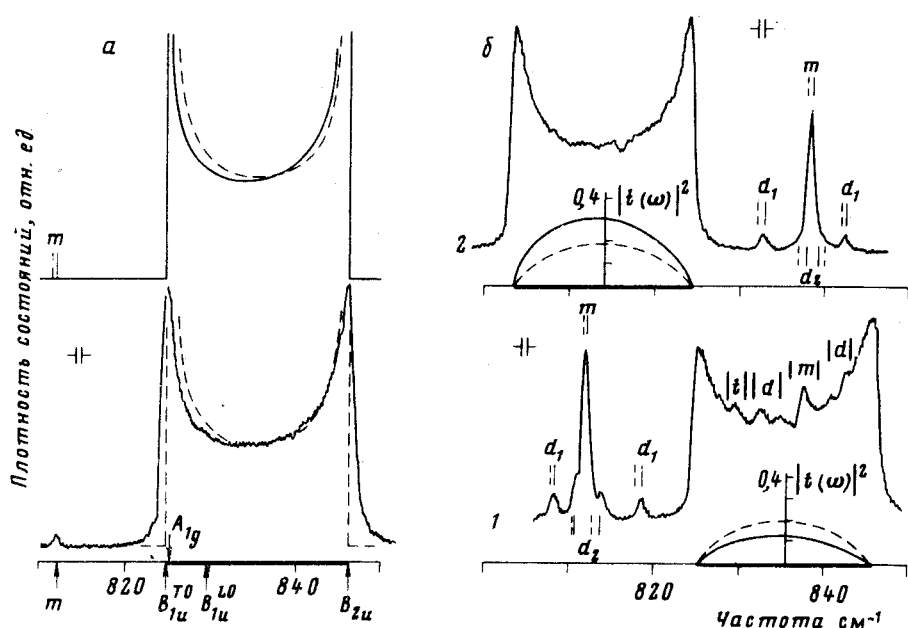
Экспериментально исследована плотность состояний квазидномерного колебательного экситона  $\omega_2$  в изотопосмешанных кристаллах  $K^{15}N_x^{14}N_{1-x}O_3$ . Обнаружено, что вероятность переноса возбуждения через легкую примесь существенно больше, чем через тяжелую. Эффект объясняется интерференцией колебательных и электронных состояний.

Спектр возбуждений неупорядоченной одномерной цепочки обычно рассматривается в одноуровневом приближении взаимодействия ближайших соседей<sup>1</sup>. В этом приближении

спектры цепочек, содержащих легкую ( $L$ ),  $\Delta > 0$  и тяжелую ( $H$ ),  $\Delta < 0$  примеси, подобны ( $\Delta$  – дефект энергии на примеси). В данной работе впервые показано, что в реальной квазидномерной системе  $L$ - и  $H$ -примеси не эквивалентны. Этот вывод следует из анализа спектров плотности состояний  $g(\omega, x)$  квазидномерного колебательного экситона  $\omega_2$  в изотопосмешанных кристаллах  $K^{15}N_x^{14}N_{1-x}O_3$ , экспериментально исследованных по спектрам КРС полносимметричных переходов  $\omega_2 + \omega_2$ .

Возможность прямого измерения  $g(\omega, x)$  по спектрам составных переходов отмечена в<sup>2</sup>. Там же была обнаружена квазидномерность зоны  $\omega_2$  в  $KNO_3$ . В этом кристалле плоские квазимолекулярные ионы  $NO_3^-$  расположены стопками (цепочками), параллельными оси  $c$ . Внутреннее колебание  $\omega_2$  также поляризовано вдоль  $c$ . Изотопический сдвиг  $\omega_2$  при замене  $^{14}N$  на  $^{15}N$   $\Delta = -21,5 \text{ см}^{-1}$ . Ангармонический сдвиг обертонного уровня  $\omega_{22}$  пренебрежимо мал  $|\Delta_{22}| < 0,5 \text{ см}^{-1}$ . Отсутствие ангармонического взаимодействия и внутримолекулярный характер обертонного перехода позволяют утверждать, что спектр полносимметричных  $\omega_2 + \omega_2$ -переходов как в чистом, так и в изотопосмешанном кристаллах совпадает со спектром  $g(\omega, x)$ , растянутым вдвое по шкале частот.

Экспериментально исследовались спектры КРС изотопосмешанных монокристаллов  $K^{15}N_x^{14}N_{1-x}O_3$ . Содержание изотопов определялось с точностью не хуже 1%. Спектры возбуждались аргоновым лазером ( $p \approx 0,8 \text{ Вт}$ ,  $\lambda_0 = 514,5 \text{ нм}$ ) и регистрировались на спектрометре Spex Ramalog-6 методом многократного сканирования с накоплением посредством микро-ЭВМ. Приведенные спектры  $\omega_2 + \omega_2$ -переходов нормализованы по интегральной интенсивности и перенесены в область  $\omega_2$ -состояний.



Спектры плотности  $\omega_2$ -состояний в кристаллах  $K^{15}N_x^{14}N_{1-x}O_3$ . Кривые с шумами – экспериментальные спектры КРС  $\omega_2 + \omega_2$ -переходов при 90К, перенесенные в область  $\omega_2$ -состояний. Результаты расчетов с  $T_2 = 21,5 \text{ см}^{-1}$  приведены штриховыми ( $\beta = 0$ ) и сплошными ( $\beta = 0,13$ ) линиями. Вертикальными отрезками указаны вычисленные частоты колебаний  $m$ ;  $d_1$ - и  $d_2$ -кластеров. Расчетные области экситонных зон выделены на оси частот.  $a$  – 0,37%  $^{15}N$  и расчет  $g(\omega, x = 0)$ . Стрелками указаны частота локального колебания ( $m$ )  $^{15}NO_3^-$  и частоты давыдовских компонент, измеренные по спектрам первого порядка;  $b$  – 1 – 10%  $^{15}N$  ( $H$  – примесь), 2 – 10%  $^{14}N$  ( $L$  – примесь) и расчетные зависимости вероятности  $|t(\omega)|^2$  переноса возбуждения через  $H$ - и  $L$ -примесь

Как видно на рис. а, экспериментальный спектр  $\omega_2 + \omega_2$ -переходов в KNO<sub>3</sub> довольно близок к модельному спектру  $g(\omega, x = 0)$  одномерного экситона. Ширина полосы определяется шириной экситонной зоны  $T_2 \cdot T_2 = 21,5 \text{ см}^{-1}$  при 90К и монотонно уменьшается до  $17,5 \text{ см}^{-1}$  при 300К. Сопоставление этой зависимости с тепловым расширением кристалла ( $\alpha_c = 18 \cdot 10^{-5} \text{ К}^{-1}$ ,  $\alpha_b \approx \alpha_a = 2,3 \cdot 10^{-5} \text{ К}^{-1}$ ) показывает, что взаимодействие колебаний  $\omega_2$  убывает как  $r^{-5,5 \pm 1}$ , т. е. является близкодействующим.

Локальное колебание одиночной примеси ( $m$ ) наблюдается уже в кристалле с естественным (0,37 %) содержанием изотопа <sup>15</sup>N. При 10 % <sup>15</sup>N в этой области спектра возникают еще 4 линии (рис. б, кривая 1), положение и интенсивность которых однозначно свидетельствуют об их принадлежности колебаниям димеров  $d_1(\dots LLHHL \dots)$  и  $d_2(\dots LLHLH \dots)$ . Расщепление дублета  $d_1$  в основном определяется прямым взаимодействием колебаний соседних молекул цепочки, а расщепление  $d_2$  – косвенным взаимодействием примесей через разделяющую их основную молекулу. Отсутствие компонент, соответствующих кластерам из молекул соседних цепочек, доказывает, что взаимодействие в цепочке по крайней мере в 20 раз сильнее, чем между цепочками.

Исследование концентрационного поведения спектра  $g(\omega, x)$  показывает, что структура, возникающая на фоне квазисплошного спектра  $L$ -состояний при 10%  $H$ -примеси, генетически связана с колебаниями, локализованными на группах из одной ( $|m|$ ), двух ( $|d|$ ) и трех ( $|t|$ )  $L$ -молекул. Существование сильно локализованных  $L$ -колебаний в кристалле, содержащем 90%  $L$ -молекул, означает, что  $H$ -примеси почти полностью блокируют перенос возбуждения по  $L$ -цепочке, разделяя ее на слабосвязанные отрезки.

В случае 10%  $L$ -примеси (рис. б, кривая 2) в спектре  $g(\omega, x)$  также видны  $m$  и  $d_1$  линии. Однако  $d_2$ -дублет удается обнаружить только при максимальном разрешении, так как его расщепление вдвое меньше, чем в случае  $H$ -примеси. Величина  $d_2$ -расщепления является мерой вероятности переноса возбуждения через молекулу, разделяющую примеси. Следовательно, вероятность переноса  $H$ -возбуждений через  $L$ -молекулу в два раза больше, чем  $L$ -возбуждений через  $H$ -молекулу. Об этом же говорит отсутствие явно выраженной структуры в сплошном спектре  $H$ -состояний кристалла, содержащего 10%  $L$ -примеси.

Таким образом, результаты эксперимента, с одной стороны, доказывают высокую степень одномерности и близкодействующий характер взаимодействия  $\omega_2$ -колебаний, а с другой стороны указывают на неэквивалентность  $H$ - и  $L$ -примесей, что не может быть объяснено в рамках обычно рассматриваемой одномерной модели. Это противоречие можно устранить, если учесть взаимодействие и интерференцию колебательных ( $v$ ) и электронных ( $e$ ) состояний (в NO<sub>3</sub><sup>-</sup> нет других внутренних колебаний той же симметрии, что  $\omega_2$ ). Вклад далекого  $e$ -состояния в момент  $p_m$ , наводимый на  $m$ -ой молекуле полем  $E_m = \gamma(p_{m-1} + p_{m+1})$ , создаваемым колебаниями соседей, равен  $\alpha_0 E_m$ , где  $\alpha_0$  – фоновая поляризуемость молекулы. Величина и знак  $v$ -вклада в  $p_m$  зависят от разности частоты возбуждения и резонансной частоты молекулы  $\omega_m = \omega_0 + \delta_m \Delta$ , где  $\delta_m = 0$  для основной и 1 для примесной молекул.

$$p_m = \left( \alpha_0 + \frac{\mu^2}{\omega_m - \omega} \right) E_m = \gamma \left( \alpha_0 + \frac{\mu^2}{\omega_m - \omega} \right) (p_{m-1} + p_{m+1}). \quad (1)$$

Здесь  $\mu = \partial p_m / \partial q_m$ ,  $q_m$  – нормальная координата колебания. Из (1) можно получить следующие выражения для дисперсии колебаний  $\omega_k$  упорядоченной цепочки и вероятности переноса  $|t(\omega)|^2$  возбуждения через примесь:

$$\omega_0 - \omega_k = \frac{\Gamma \cos ka}{1 - \beta \cos ka}, \quad (2)$$

$$|t(\omega)|^2 = \left| \frac{-iA'(\omega) \sin k\alpha}{1 - A'(\omega)e^{ik\alpha}} \right|^2, \quad (3)$$

где  $\Gamma = 2\gamma\mu^2$ ,  $\beta = 2\gamma\alpha_0$ ,  $A'(\omega) = \beta + \frac{\Gamma}{\omega_0 + \Delta - \omega_k}$ ,  $\alpha$  — постоянная цепочки. Ширина экситонной зоны  $T_v = 2\Gamma / (1 - \beta^2)$ . Выражения для  $g(\omega, x=0)$  и частот  $m$ -,  $d_1$ - и  $d_2$ -состояний могут быть найдены из (2). Результаты расчетов с  $\beta = 0$  и  $\beta = 0,13$  показаны на рисунке. Видно, что учет поляризуемости существенно влияет на расчетный спектр и позволяет получить полное согласие с экспериментом.

Проведенная оценка показывает, что непосредственный вклад  $e$ -состояний в  $g(\omega, x=0)$  мал. Однако  $v$ - и  $e$ -моменты, наводимые на примеси колебанием цепочки, сравнимы по величине. При  $\Delta < 0$  эти моменты противофазны и компенсируют друг друга. В результате даже не слишком глубокая ( $|\Delta| \approx T_v$ )  $H$ -примесь может полностью блокировать перенос возбуждений по цепочке, если  $\beta \approx -\Gamma/\Delta$ . С другой стороны при  $\Delta > 0$   $v$ - и  $e$ -моменты синфазны, что значительно увеличивает вероятность переноса возбуждения через  $L$ -примесь.

#### Литература

1. Займан Дж. Модели беспорядка. М.: Мир, 1982.
2. Белоусов М.В., Погарев Д.Е. Письма в ЖЭТФ, 1982, 36, 152.
3. Lonapran M.A. Proc. Ind. Acad. Sci., 1955, 41 А, 239.

Институт физики  
ленинградского государственного университета

Поступила в редакцию  
7 июня 1983 г.

2 сентября 1983 г.